



Laboratorium EMVO Sp. J. Urbański, Pawelak

ul. Jasna 1
00-013 Warszawa

tel. +48 22 780 29 64

e-mail: laboratorium@emvo.pl



AB 1630

Sprawozdanie z pomiarów pól elektromagnetycznych - środowisko nr 04/06/OŚ/2023-P4



Nr i nazwa stacji	GDA0038C	
Adres	Gdańsk, Sadowa 8, pow. Gdańsk, woj. pomorskie	
Opracowanie	Wiesław Laskowski	Specjalista ds. pomiarów
Autoryzacja	Andrzej Urbański	Kierownik Laboratorium
Podpis		
Data	2023-06-06	

„Bez pisemnej zgody Laboratorium niniejsze sprawozdanie nie może być powielane inaczej, jak tylko w całości. Ponadto wyniki dotyczą tylko badanych obiektów przywołanych w niniejszym sprawozdaniu z badań”

04/06/OŚ/2023-P4

Strona 1 z 10

Spis treści

1. Informacje ogólne.....	3
2. Podstawa prawna.	3
3. Opis pomiarów.....	3
4. Zróżnicowanie dopuszczalne poziomy pól elektromagnetycznych.....	4
5. Charakterystyka źródeł PEM.....	5
6. Wyniki pomiarów.....	5
7. Stwierdzenie zgodności	7
8. Oświadczenie.....	7
9. Spis załączników.	7

1. Informacje ogólne.

Zleceniodawca	P4 Sp. z o.o., ul. Wynałazek 1, 02-677 Warszawa osoba udzielająca informacji – Magdalena Sokół
Istotne informacje dostarczone przez klienta	komplet informacji niezbędnych do wykonania pomiarów i opracowania sprawozdania
Dane otrzymane od klienta mogące mieć wpływ na ważność wyników	dane anten sektorowych, dane anten radioliniowych, parametry pracy instalacji, poprawka pomiarowa
Prowadzący instalację	P4 sp. z o.o., ul. Wynałazek 1, 02-677 Warszawa
Lokalizacja obiektu	Gdańsk, Sadowa 8, pow. Gdańsk, woj. pomorskie
Miejsce instalacji anten	dach
Miejsce instalacji urządzeń	outdoor
Osoby wykonujące pomiar	Roman Murawski - pomiarowiec
Data wykonania pomiaru	2023-06-06
Godzina rozpoczęcia pomiaru	8.30
Godzina zakończenia pomiaru	10.00
Temperatura na początku pomiaru [°C]	19
Temperatura na koniec pomiaru [°C]	19
Warunki atmosferyczne	brak opadów
Wilgotność na początku pomiaru [%]	38
Wilgotność na koniec pomiaru [%]	38
Inne źródła pól elektromagnetycznych oznaczone na załączniku graficznym	nie występują
Parametry pracy instalacji	tryb eksploatacyjny

2. Podstawa prawna.

2.1 Normy i rozporządzenia:

- Obwieszczenie Ministra Klimatu i Środowiska z dnia 21 listopada 2022 r. w sprawie ogłoszenia jednolitego tekstu rozporządzenia Ministra Klimatu w sprawie sposobów sprawdzania dotrzymania dopuszczalnych poziomów pól elektromagnetycznych w środowisku (Dz.U. 2022 poz. 2630)
- Rozporządzenie Ministra Zdrowia z dnia 17 grudnia 2019 r. w sprawie dopuszczalnych poziomów pól elektromagnetycznych w środowisku (Dz.U. 2019 poz. 2448)
- Obwieszczenie Marszałka Sejmu Rzeczypospolitej Polskiej z dnia 1 grudnia 2022 r. w sprawie ogłoszenia jednolitego tekstu ustawy - Prawo ochrony środowiska (Dz.U. 2022 poz. 2556).

3. Opis pomiarów

Metodologia pomiarowa Pomiary w oparciu o Rozporządzenie Ministra Klimatu z dnia 17 lutego 2020 r. w sprawie sposobów sprawdzania dotrzymania dopuszczalnych poziomów pól elektromagnetycznych w środowisku (Dz.U. 2022 poz. 2630).

Cel badań Określenie wartości natężenia pola elektrycznego w miejscach dostępnych dla ludności.

Opis zestawu pomiarowego	<p>Miernik Narda NBM 550, Sonda EF-6092, o zakresie pomiarowym 0,7 V/m –300V/m pracująca w paśmie 0,1 – 90 GHz, świadectwo wydane przez Laboratorium Wzorców i Metrologii Pola Elektromagnetycznego, Instytut Telekomunikacji, Teleinformatyki i Akustyki Politechniki Wrocławskiej. Świadectwo ważne do 10.06.2024 r.</p> <p>Miernik Narda NBM 550, Sonda EF-6092 pracująca w zakresie temperatury -10°C - +50°C oraz wilgotności 5% - 95%</p> <p>Niepewność rozszerzona wynosi 58,8% przy poziomie ufności 95% z uwzględnieniem współczynnika rozszerzenia k=2.</p>
Wyposażenie pomocnicze	<p>Termohigrometr Bestone, Nr. inwentarzowy 03/WL, nr identyfikacyjny 1222436, typ: GM1362-EN-00, świadectwo wzorcowania z dn. 22.12.2015 r. wydane przez Laboratorium Pomiarowe „MUTECH”.</p> <p>Przymiar wstęgowy STABILA, Nr. inwentarzowy 06/WL, nr identyfikacyjny 06WL, świadectwo wzorcowania z dn. 22.09.2021 r. wydane przez Zespół Laboratoriów wzorcujących Okręgowego Urzędu Miar w Gdańsku.</p> <p>GPS Garmin 64s okresowo sprawdzany w punktach osnowy geodezyjnej klasy 3 na podstawie licencji punktu, zgodnie z procedurą sprawdzeń okresowych IS/PO-16-11/03.</p>
Pomiary zostały wykonane	<ol style="list-style-type: none"> na głównych i pomocniczych kierunkach pomiarowych, na kierunkach zbliżonych do azymutów anten oraz w dodatkowych pionach pomiarowych zgodnie z wymaganiami pkt 12, 13, 14 i 19 Rozporządzenia Ministra Klimatu z dnia 17 lutego 2020 r. (Dz.U. 2022 poz. 2630). na obszarze pomiarowym, dla którego, na podstawie uprzednio przeprowadzonych obliczeń stwierdzono w miejscach dostępnych dla ludności występowanie pól elektromagnetycznych o najwyższym poziomie, które pochodzą z badanej instalacji zgodnie z wymaganiami pkt 5 ppkt 2 oraz pkt 13 ppkt 1 Rozporządzenia Ministra Klimatu z dnia 17 lutego 2020 r. w sprawie sposobów sprawdzania dotrzymania dopuszczalnych poziomów pól elektromagnetycznych w środowisku (Dz.U. 2022 poz. 2630). Wyniki obliczeń nie uwzględniały parametrów pracy instalacji innych operatorów występujących na obiekcie bądź w obszarze pomiarowym. w miejscach dostępnych dla ludności. miejsca niedostępne podczas wykonywania pomiarów wskazane zostały w pkt 6 (tabeli wyniki pomiarów).
Szczególne warunki podczas wykonywania pomiarów	Pomiary wykonane zostały podczas obowiązywania w kraju stanu zagrożenia epidemicznego, zgodnie z art. 122a ust. 1b Ustawy z dnia 27 kwietnia 2001 r. – Prawo ochrony środowiska (Dz. U. z 2019 r. poz. 1396, z późn. zm.9))
Warunki pracy urządzeń nadawczych	Tryb pracy eksploatacyjny.

4. Zróżnicowanie dopuszczalne poziomy pól elektromagnetycznych.

Zakresy znajdują się w Dzienniku Ustaw z dnia 17 grudnia 2019 r. przedstawione są w tabeli nr 2 (Dz. U. z 2019r. poz. 2448).

Zakres częstotliwości pola elektromagnetycznego	Parametr fizyczny		
	Składowa elektryczna E (V/m)	Składowa magnetyczna H (A/m)	Gęstość mocy S (W/m ²)
od 400 MHz do 2000 MHz	$1,375 \times f^{0,5}$	$0,0037 \times f^{0,5}$	$f / 200$
od 2 GHz do 300 GHz	61	0,16	10

5. Charakterystyka źródeł PEM.

Zgodnie z informacją otrzymaną od klienta pomiary zostały wykonane przy ustawieniach pochylenia anten zgodnych z pkt. 13, ppkt 2 załącznika do rozporządzenia Ministra Klimatu z dnia 17 lutego 2020 roku.

Tabela 1. Anteny sektorowe - dane otrzymane od klienta

Charakterystyka promieniowania		kierunkowa														
Rzeczywisty czas pracy [h/dobę]		24														
Rodzaj wytwarzanego pola		stacjonarne														
Lp	Wyszczególnienie	sektor 1					sektor 2					sektor 3				
I Nadajnik stacji bazowej:																
1	Typ / Producent	DBS / SRAN Huawei														
2	Częstotliwość (pasmo) MHz	2600	800	2100	1800	900	2600	2100	1800	900	800	2600	2100	1800	900	800
3	Maksymalna moc nadawana na sektor [dBm]	49,03	49,03	50,79	50,79	47,78	49,03	50,79	50,79	47,78	49,03	49,03	50,79	50,79	47,78	49,03
II Obciążenie:																
1	Typ anteny	Huawei ADU4518R10			Kathrein 742270			Huawei AQU4517R4				Huawei AQU4517R4				
2	Producent anteny	Huawei			Kathrein			Huawei				Huawei				
3	Ilość anten	1			1			1				1				
4	Azymut	0					120					240				
5	Zakres kątów pochylenia anten [°]	2,00-12,00	0,00-15,00	0,00-8,00	0,00-8,00	0,00-14,00	0,00-10,00	0,00-10,00	0,00-10,00	0,00-12,00	0,00-12,00	0,00-10,00	0,00-10,00	0,00-10,00	0,00-12,00	0,00-12,00
6	Wysokość zainst. n.p.t. [m]	26,00					28,30					28,30				
7	EIRP [W]	7072			12183			21659				21659				

Tabela 2. Anteny radioliniowe - dane otrzymane od klienta

Charakterystyka promieniowania				kierunkowa			
Rzeczywisty czas pracy [h/dobę]				24			
Rodzaj wytwarzanego pola				stacjonarne			
Lp.	Linia radiowa			Antena			
	typ/producent	częstotliwość pracy [GHz]	moc wyjściowa [dBm]	typ/producent	średnica anteny [m]	azymut [°]	wysokość zainstalowania n.p.t. [m] (środek elektryczny anteny)
1	OPTIX RTN/HUAWEI	80	18	A80S03/Huawei	0,3	32	26,80
2	OPTIX RTN/HUAWEI	80	18	A80S03/Huawei	0,3	94	26,80

6. Wyniki pomiarów.

Wyniki pomiarów pól elektromagnetycznych dla celów ochrony środowiska przedstawia poniższa tabela. Piony pomiarowe zostały przedstawione w zał. 2.

Nr PP	Pole-E [V/m]	Pole-E+U [V/m]	Pole-H [A/m]	Pole-H +U [A/m]	Wysokość pomiaru [m]	Współrzędne PP x, y	Opis PP	WM _E	WM _H
1	1,8	2,86	0,005	0,008	0,3 - 2,0	54°20'44.25" N 18°40'5.23" E	otoczenie stacji bazowej - 50 m wzdłuż gł. osi promieniowania - GKP	0,104	0,104
2	1,7	2,70	0,005	0,007	0,3 - 2,0	54°20'45.86" N 18°40'5.23" E	otoczenie stacji bazowej - 100 m wzdłuż gł. osi promieniowania - GKP	0,098	0,098
3	2,2	3,49	0,006	0,009	0,3 - 2,0	54°20'47.48" N 18°40'5.23" E	otoczenie stacji bazowej - 150 m wzdłuż gł. osi promieniowania - GKP	0,127	0,127

„Bez pisemnej zgody Laboratorium niniejsze sprawozdanie nie może być powielane inaczej, jak tylko w całości. Ponadto wyniki dotyczą tylko badanych obiektów przywołanych w niniejszym sprawozdaniu z badań”

Nr PP	Pole-E [V/m]	Pole-E+U [V/m]	Pole-H [A/m]	Pole-H +U [A/m]	Wysokość pomiaru [m]	Współrzędne PP x, y	Opis PP	WM _E	WM _H
4	3,9	6,19	0,010	0,016	0,3 - 2,0	54°20'51.78" N 18°40'5.23" E	otoczenie stacji bazowej - 283 m wzdłuż gł. osi promieniowania - GKP	0,225	0,225
5	2,1	3,33	0,006	0,009	0,3 - 2,0	54°20'40.57" N 18°40'7.49" E	otoczenie stacji bazowej - 50 m wzdłuż gł. osi promieniowania - GKP	0,121	0,121
6	0,9	1,43	0,002	0,004	0,3 - 2,0	54°20'39.76" N 18°40'9.88" E	otoczenie stacji bazowej - 100 m wzdłuż gł. osi promieniowania - GKP	0,052	0,052
7	0,8	1,27	0,002	0,003	0,3 - 2,0	54°20'38.95" N 18°40'12.28" E	otoczenie stacji bazowej - 150 m wzdłuż gł. osi promieniowania - GKP	0,046	0,046
8	0,7*	1,27	0,002	0,003	0,3 - 2,0	54°20'38.15" N 18°40'14.68" E	otoczenie stacji bazowej - 200 m wzdłuż gł. osi promieniowania - GKP	0,046	0,046
9	0,7*	1,27	0,002	0,003	0,3 - 2,0	54°20'37.34" N 18°40'17.07" E	otoczenie stacji bazowej - 250 m wzdłuż gł. osi promieniowania - GKP	0,046	0,046
10	1,3	2,06	0,003	0,005	0,3 - 2,0	54°20'40.52" N 18°40'1.84" E	otoczenie stacji bazowej - 50 m wzdłuż gł. osi promieniowania - GKP	0,075	0,075
11	0,9	1,43	0,002	0,004	0,3 - 2,0	54°20'39.71" N 18°39'59.45" E	otoczenie stacji bazowej - 100 m wzdłuż gł. osi promieniowania - GKP	0,052	0,052
12	1,2	1,91	0,003	0,005	0,3 - 2,0	54°20'38.9" N 18°39'57.05" E	otoczenie stacji bazowej - 150 m wzdłuż gł. osi promieniowania - GKP	0,069	0,069
13	0,7*	1,27	0,002	0,003	0,3 - 2,0	54°20'38.1" N 18°39'54.65" E	otoczenie stacji bazowej - 200 m wzdłuż gł. osi promieniowania - GKP	0,046	0,046
14	0,7*	1,27	0,002	0,003	0,3 - 2,0	54°20'36.75" N 18°39'50.67" E	otoczenie stacji bazowej - 283 m wzdłuż gł. osi promieniowania - GKP	0,046	0,046
15	1,1	1,75	0,003	0,005	0,3 - 2,0	54°20'44" N 18°40'6.7" E	otoczenie stacji bazowej - 50 m wzdłuż gł. osi promieniowania - GKP	0,064	0,063
16	1,2	1,91	0,003	0,005	0,3 - 2,0	54°20'45.37" N 18°40'8.16" E	otoczenie stacji bazowej - 100 m wzdłuż gł. osi promieniowania - GKP	0,069	0,069
17	1,4	2,22	0,004	0,006	0,3 - 2,0	54°20'41.27" N 18°40'7.85" E	otoczenie stacji bazowej - 50 m wzdłuż gł. osi promieniowania - GKP	0,081	0,081
18	0,8	1,27	0,002	0,003	0,3 - 2,0	54°20'41.15" N 18°40'10.61" E	otoczenie stacji bazowej - 100 m wzdłuż gł. osi promieniowania - GKP	0,046	0,046
19	1,0	1,59	0,003	0,004	0,3 - 2,0	54°20'41.15" N 18°40'10.61" E	otoczenie stacji bazowej - PKP	0,058	0,058
20	1,4	2,22	0,004	0,006	0,3 - 2,0	54°20'41.15" N 18°40'10.61" E	otoczenie stacji bazowej - PKP	0,081	0,081
A	2,2	3,49	0,006	0,009	0,3 - 2,0	54°20'42.5" N 18°40'5.8" E	ul. Sadowa 8, pomiar przy budynku - DPP	0,127	0,127
A1	1,2	1,91	0,003	0,005	0,3 - 2,0	54°20'43.2" N 18°40'8.7" E	ul. Sadowa 3, pomiar przy budynku - DPP	0,069	0,069
B	0,7*	1,27	0,002	0,003	0,3 - 2,0	54°20'38.8" N 18°40'12.7" E	ul. Sadowa 21, pomiar przy budynku - DPP	0,046	0,046
C	0,7*	1,27	0,002	0,003	0,3 - 2,0	54°20'38.3" N 18°40'10.8" E	ul. Sadowa 23, pomiar przy budynku - DPP	0,046	0,046
D	1,7	2,70	0,005	0,007	0,3 - 2,0	54°20'45.8" N 18°40'4.9" E	ul. Reduta Żbik 7a, pomiar przy budynku - DPP	0,098	0,098
E	2,8	4,45	0,007	0,012	0,3 - 2,0	54°20'48.9" N 18°40'5.2" E	ul. Reduta Żbik 4, pomiar przy budynku - DPP	0,162	0,162
F	1,0	1,59	0,003	0,004	0,3 - 2,0	54°20'43.9" N 18°40'1.9" E	ul. Łąkowa 59b, pomiar przy budynku - DPP	0,058	0,058
G	1,1	1,75	0,003	0,005	0,3 - 2,0	54°20'45.0" N 18°40'4.0" E	ul. Podwale Przedmiejskie 7, pomiar przy budynku - DPP	0,064	0,063
H	1,4	2,22	0,004	0,006	0,3 - 2,0	54°20'43.1" N 18°40'0.0" E	ul. Łąkowa 59, pomiar przy budynku - DPP	0,081	0,081
I	0,7*	1,27	0,002	0,003	0,3 - 2,0	54°20'36.7" N 18°39'51.8" E	ul. Chłodna 10-11-12, pomiar przy budynku - DPP	0,046	0,046

Wynik pomiaru pole - E [V/m] - maksymalna wartość chwilowa zmierzona w danym pionie pomiarowym (uśredniona na podstawie punktu 11 załącznika do Rozporządzenia Ministra Klimatu z dnia 17 lutego 2020 r. w sprawie sposobów sprawdzania dotrzymania dopuszczalnych poziomów pól elektromagnetycznych w środowisku (Dz.U. 2022 poz. 2630). Zgodnie z pkt. 7 załącznika do Rozporządzenia Ministra Klimatu

z dnia 17 lutego 2020 r. w sprawie sposobów sprawdzania dotrzymania dopuszczalnych poziomów pól elektromagnetycznych w środowisku (Dz.U. 2022 poz. 2630) nie stosuje się poprawek pomiarowych.

Przyjęto najniższą dopuszczalną wartość składowej elektrycznej pola dla objętego pomiarami zakresu częstotliwości $\min(ME_{gr}) = 28 \text{ V/m}$ oraz składowej magnetycznej $\min(MH_{gr}) = 0,073 \text{ A/m}$.

* - wartość zmierzona poniżej zakresu akredytacji. Do obliczeń przyjęto wartość zgodną z dolną granicą akredytowanego zakresu pomiarowego metody.

GKP - główne kierunki pomiarowe

PKP - pomocnicze kierunki pomiarowe

DPP - dodatkowe punkty pomiarowe

PP - pion pomiarowy

U - niepewność pomiarowa rozszerzona, przy poziomie ufności 95%, z uwzględnieniem współczynnika rozszerzenia $k=2$

WM_E - wartość wskaźnikowa poziomu emisji pól elektromagnetycznych dla miejsc dostępnych dla ludności dla składowej elektrycznej pola

WM_H - wartość wskaźnikowa poziomu emisji pól elektromagnetycznych dla miejsc dostępnych dla ludności dla składowej magnetycznej pola

7. Stwierdzenie zgodności

Na podstawie wytycznych podanych w Rozporządzeniu Ministra Zdrowia z dnia 17 grudnia 2019 r. w sprawie dopuszczalnych poziomów pól elektromagnetycznych w środowisku (Dz.U. 2019 poz. 2448) oraz sposobów sprawdzania dotrzymania tych poziomów zgodnie z Rozporządzeniem Ministra Klimatu z dnia 17 lutego 2020 r. w sprawie sposobów sprawdzania dotrzymania dopuszczalnych poziomów pól elektromagnetycznych w środowisku (Dz.U. 2022 poz. 2630), dotyczących źródła wymagań, które muszą być spełnione, w oparciu o zasadę podejmowania decyzji zgodną z pkt. 26 Rozporządzenia Ministra Klimatu z dnia 17 lutego 2020 r. (Dz.U. 2022 poz. 2630), na podstawie wyników pomiarów pól elektromagnetycznych wykonanych w dniu 2023-06-06 stwierdzono, że wszystkie wyniki przeprowadzonych pomiarów w danym obszarze pomiarowym oraz wyznaczone na tej podstawie wskaźniki WME oraz WMH są mniejsze od wartości dopuszczalnych – zgodnie z przepisami wydanymi na podstawie art. 122 ust. 1 ustawy z dnia 27 kwietnia 2001 r. – Prawo ochrony środowiska – załącznikiem do Rozporządzenia Ministra Klimatu i Środowiska z dnia 17 lutego 2020 r. w sprawie sposobów sprawdzania dotrzymania dopuszczalnych poziomów pól elektromagnetycznych w środowisku (Dz.U. 2022 poz. 2630, pkt 26).

8. Oświadczenie.

Wyniki badania odnoszą się wyłącznie do badanego obiektu.

Bez pisemnej zgody sprawozdanie nie może być powielane inaczej, jak tylko w całości.

Uwagi i zastrzeżenia przyjmowane są w formie pisemnej.

9. Spis załączników.

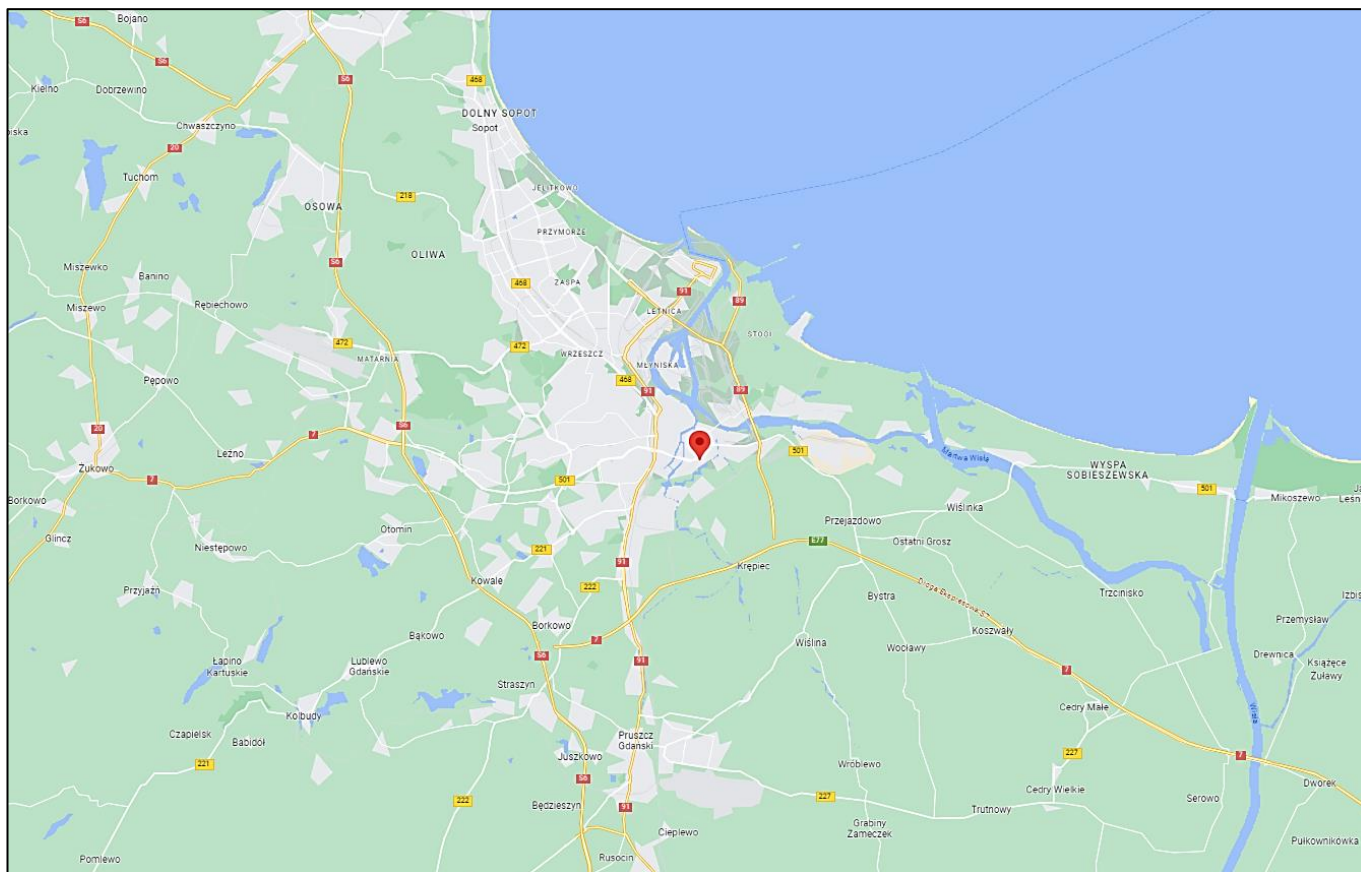
Załącznik 1. Lokalizacja obiektu.

Załącznik 2. Widok pionów pomiarowych.

Załącznik 3. Widok stacji bazowej.

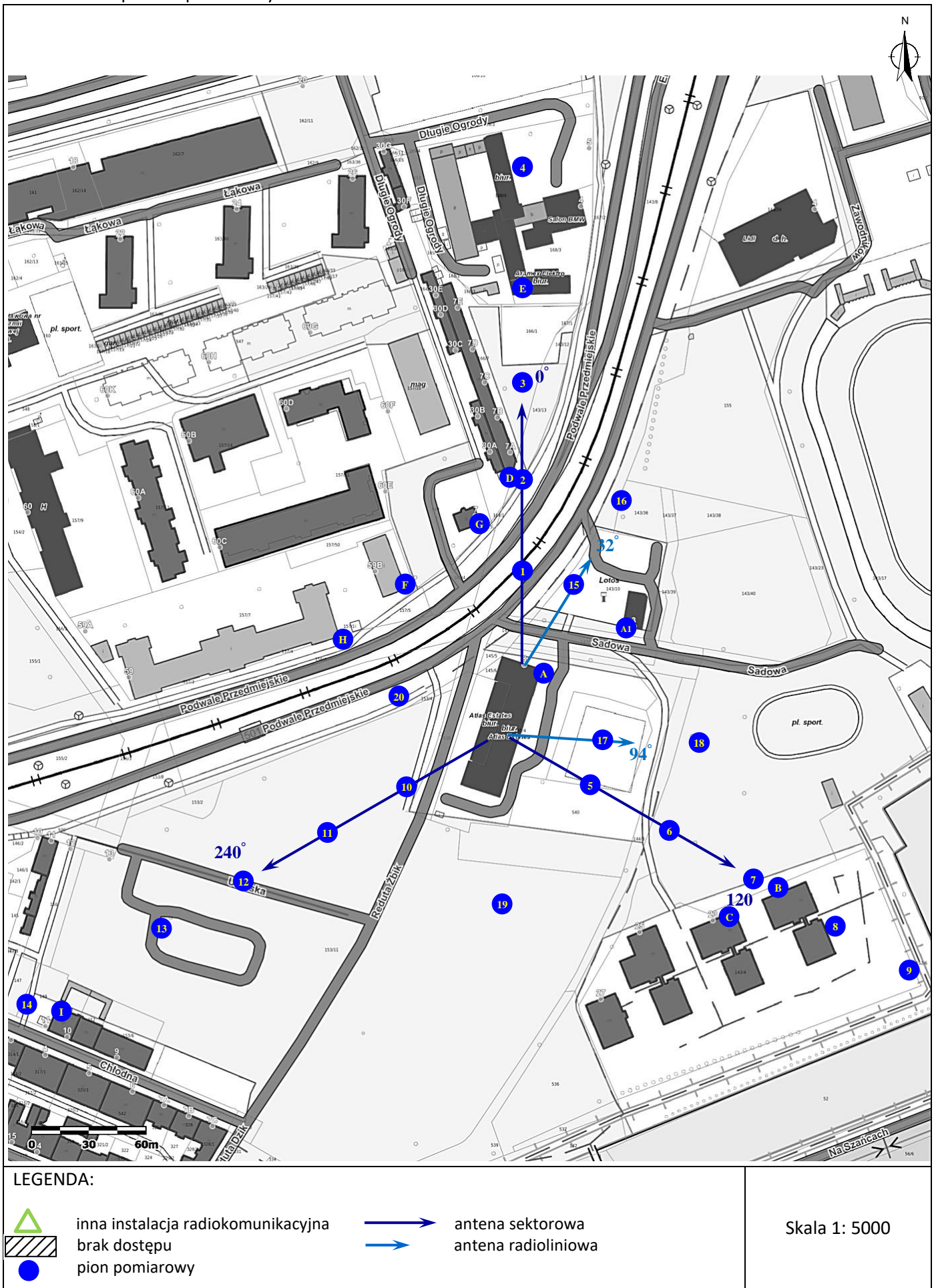
Koniec sprawozdania

Zał. 1. Lokalizacja obiektu



Współrzędne geograficzne	
szerokość:	54°20'42.40"N
długość:	18°40'05.00"E

Zał. 2. Widok pionów pomiarowych



Załącznik 3. Załączniki graficzne

